

8b - Br

~~1968~~
 $\text{BrF}_3 \cdot \text{SbF}_5$ (T_{λ_1} , P , T_{λ_2} , AfH)

695-II-II KB

Рисс II.

Температура плавления, давление
и температура сублимации BrF_3
 $\cdot \text{SbF}_5$ и $\text{BrF}_2^+ \cdot \text{SbF}_6^-$; температура
предельного перехода и плавления BrF_3 .
 $\cdot 3 \text{SbF}_5$. - 1с.

III-2074

1889

Berthelot and Petit

1. Ann. chim. phys. 18, 65 (1889)

SbBr₃; kp., ΔH_f°

[Notes p. 6]

Circ. 500



✓

III-1293

Cohen and Strengers

1905

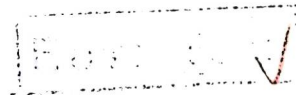
1.Z.physik.Chem.52, 129 (1905)

$SbBr_3 \text{ in } CS_2 ; \Delta H_f^\circ$

$\kappa_p ; \Delta H_f$

Circ. 500

B, μ



op

II-2076

1953

NbBr_3 (T_m)

Swimmer J.

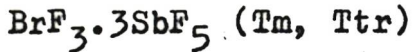
Industr. Diamond Rev., 1953, 13, N155, 225
(a.m.)

Separating diamond from aluminium
oxide and silicon carbide.

Pyrex, 1954, N12, 3122B. | 5

III-1228

1957



Fischer J., Liimatainen R., Bingle J.
J. Amer. Chem. Soc., 1955, 77, N 22,
5848-5849 (am.)

The condensed system bromine-trifluoride-antimony pentafluoride

PX., 1957, 26142

NOTE ✓ ✓ ✓ ✓ ✓ ✓ ✓ ✓ ✓ ✓

Б.

17 - 1118

I957

BrO_2F , BrF_5 (T_m), $\text{BrF}_5 \cdot 2\text{SbF}_5$ (T_m)

Schmeisser M., Rammer E.

Angew. Che., I957, 69, N 24, 781 (

Neue Darstellungswéisen fur Bromofluorid BrO_2F . Zur Kenntnis anorganischer saurefluoride VIII.

PX, I958, N I6, 604C3

Б'К

бсн гг. ✓ ф-1

IV-1247

1954

$\text{BF}_3 \cdot \text{SbF}_6$ (Tm, P)

- KBrF_4 (Tm, P)

Sheft J., Martin A., Katz J.J.

J. Amer. Chem. Soc., 1956, 78, N^o 8, 1554 -
1559 (atul.).

High temperature fluorination re-
actions of inorganic substances with
bromine trifluoride addition compounds.

Publ. 1954, 4093

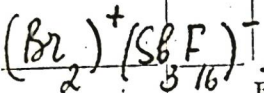
K 5

Φ

4

1968

XIII - 200



(51710) Dibromine cation: crystal structure of $[\text{Br}_2]^+[\text{Sb}_3\text{F}_{16}]^-$. Edwards, Anthony John; Jones, Gordon Robert; Sills, R. J. C. (Univ. Birmingham, Birmingham, Engl.). *Chem. Commun.* 1968, (23), 1527-8 (Eng). The interaction of SbF_5 , Br , and BrF_5 produces a scarlet solid, $[\text{Br}_2]^+[\text{Sb}_3\text{F}_{16}]^-$, m. 69° , with a magnetic moment at room temp. of 1.6 Bohr magnetons. No E.P.R. spectra were observed from the solid at room temp. or at -196° . The compd. was characterized by Raman and absorption spectra and by x-ray methods. The monoclinic unit cells belong to the space group $C2/c$ with a 13.58, b 7.71, c 14.33 A., β 93.7° , and $Z = 4$. The structure consists of sep. Br_2^+ and $\text{Sb}_3\text{F}_{16}^-$ ions. The 2 Br atoms are 2.13 A. apart and have no near F atom neighbors. In the anion, the Sb-F (terminal) distances av. 1.83 ± 0.07 A. and the Sb-F (bridge) distances 2.02 ± 0.07 A. with the Sb-F-Sb angle of 147° . The anion has a trans bridge at the central Sb atom.

CJJN

C.A. 196

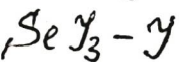
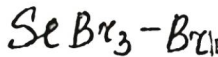
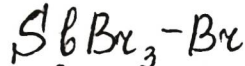
9. 70.. 12

+2

(III)



1976



(P-T)

(+3)

C. A. 1976, 85 N° 16.

85: 113227c Question of the mathematical treatment of P-T data of two and three phase equilibria in binary systems. Kamburg, V. G.; Kanev, A. N.; Petrov, E. S. (Inst Fiz.-Khim. Osn. Pererab. Miner. Syr'ya, Novosibirsk, USSR). Izv. Sib. Otd. Akad. Nauk SSSR, Ser. Khim. Nauk 1976, (4), 3-9 (Russ). Methods of calcg. 2- and 3-phase equil. curves from P-T (pressure-temp.) data are discussed. Error intervals were estd. by statistical methods. The calcs. of the SbX₃-X and Se-X (X = Br, I) systems were given as examples.

$\text{SeBr}_3\text{SbF}_6$

1979

Brooks W.V.F., et al.

Can. J. Chem., 1979, 57,
N24, 3230-3236.

cutterney

• $\text{CuSeBr}_3\text{AsF}_6;\text{I}$

$Sb_2O_2Br_2$

1979

Sb_3O_3T

Schulte-Kellinghaus
M., et al.

v gp.

области

чеснок.

серебрист.

Bi-21007.

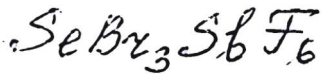
Bi-S-21007.

Experientia Steppl.,
1979, 37, 29-34.



(см. Stock; ?).

1980



*Кристал.
структура*

20 Б448. Кристаллические структуры $\text{SeBr}_3\text{SbF}_6$ и $\text{TeBr}_3\text{AsF}_6$ по данным рентгенографии. Passmore Jack, Richardson E. K., Whidden Tom K., White Peter S. The X-ray crystal structures of $\text{SeBr}_3\text{SbF}_6$ and $\text{TeBr}_3\text{AsF}_6$. «Can. J. Chem.», 1980, 58, № 8, 851—857 (англ.; рез. франц.)

Осуществлен синтез соединений $\text{SeBr}_3\text{SbF}_6$ (I) (взаимодействием $\text{Se}_4(\text{SbF}_6)_2$, Br_2 и AsF_5 в р-ре SO_2), $\text{TeBr}_3\text{AsF}_6$ (II) (взаимодействием, Te, Br_2 и AsF_5 в р-ре SO_2) и $\text{SeBr}_3\text{AsF}_6$ (III) (взаимодействием Se, Br_2 и AsF_5 в р-ре SO_2) и проведено рентгенографич. исследование (метод порошка, дифрактометр) этих соединений.

Рах N20

Параметры решеток: I ромбич., a 9,454, b 12,623, c 8,272, ρ (выч.) 3,729, $Z=4$, ф. гр. $P2_1\bar{c}2_1$. III a 7,941 Å, b 9,643, c 12,280, β 99, 28°, ρ (выч.) 3,632, $Z=4$, ф. гр. $P2_1/c$; II a 7,994, b 10,18, c 12,306, β 99,66, ρ (выч.) 3,765, $Z=4$, ф. гр. $P2_1/c$. Соединения I и III изоструктурны. Определение структур (монохрист. дифрактометр, МНК, анизотропное приближение) проведено для I ($R=0,104$ для 798 отражений) и II ($R=0,048$ для 1044 отражений). Структуры I и II содержат октаэдрич. анионные и катионные группировки. Анионные октаэдры SbF_6^- в I (Sb—F 1,81—1,90) и AsF_6^- в II (As—F 1,68—1,72) имеют довольно правильное строение. Катионные группировки представлены октаэдрами вокруг атомов Se в I и Te в II, в вершинах к-рых располагаются по три атома Br и три атома F (в I Se—Br 2,254—2,280, Se—F 2,72—2,83 в II Te—Br 2,428—2,430, Te—F 2,78—2,93. Oktaэdрич. катионы и анионы соединяются вершинами октаэдров в трехмерный каркас в структуре I и в слои, параллельные плоскости bc в структуре II. Между собой слои в структуре II связаны слабым взаимодействием Br...F (3,07 Å, что на 8,4% меньше суммы ван-дер-ваальсовских радиусов). В структуре I каркас дополнительно укреплен более сильным взаимодействием Br—F (2,96 Å). Анализ рентгеновских данных, полученных для соединений I—III, а также для соединений SBr_3MF_6 ($M=As$, Sb) и TeJ_3AsF_6 , показал, что соединения, содержащие одинаковые анионные группировки, являются изоструктурными.

С. В. Соболева

Sb Br₃

1986

Андреева О.Р., Севастянова -
ла Т.Н. и др.,

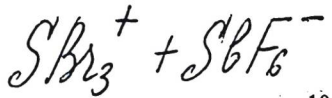
Pam

Весенний пересмотр. УК-ма. Сеп. 4,
Финляндия, Хельсинки. 1986. Февр. 1,
109-110.

$SbBr_3$ 1986
Frivoli R., Granam F.R.,
et al.

guarz. Nuovo Cimento Soc.
pabmos. Ital. Fis., 1986, 7A(1),
22-30.

(cav. $SbCl_3$; I)



1987

10 Б2038. Кристаллическая структура $SBr_3^+ + SbF_6^-$. Kristallstruktur von Tribromosulfonium(IV)-hexafluoroantimonat(V) $SBr_3^+ + SbF_6^-$. Minkwitz R., Lekies R., Preut H. «Z. Naturforsch.», 1987, 42B, № 10, 1227—1230 (нем.; рез. англ.)

Проведен РСТ А (1728 отражений, $R = 0,063$) кристаллов $SBr_3^+ + SbF_6^-$ (I), полученных медленным охлаждением р-ра $CF_3SBr_2^+ + SbF_6^-$ в HF при -15 — -40°C . Ф. гр. $P_{21}2_{12}1$, $a = 818,2$, $b = 930,9$, $c = 1244,0$ пм, $Z = 4$. Слегка искаженные SbF_6^- -октаэдры ($\text{Sb}-\text{F} = 1,814$ — $1,872$ Å, углы $FSbF = 87,5$ — $90,9^\circ$), связываясь с группировками SBr_3 ($\text{S}-\text{Br} = 2,136$ — $2,156$ Å, углы $BrSBr = 101,5$ — $105,5^\circ$) через систему коротких контактов $S \dots F$ ($2,800$ — $2,893$ Å), а также $Br \dots F$ ($2,732$ — $2,888$ Å) образуют 9- и 10-членные гетероциклы, в состав которых входят и связи $S-\text{Br}$, $S-\text{F}$.

В. Б. Калинин

Структура

Х. 1988, 19, № 10

$Sb_4O_5Br_2$

1988

Мажсеков Н. А.,
Мажсекова О. А. и сп.

Киев.-Харк. Університет. Експо-
зіція у павільоні. Краєзнан-
вчання Великобританії. Ка-
рдіффа. 1988. С. 44-
50. (cс. Sb_4O_5Cl ; I)